

(19)جمهورية العراق وزارة التخطيط

الجهاز المركزي للتقييس والسيطرة النوعية قسم الملكية الصناعية

براءة اختراع

(51) التصنيف الدولي

(11) رقم البراءة : 3724

(21) رقم الطلب:

C12N15/03

(22) تاريخ تقديم الطلب: 2009/2/22

(52) التصنيف العراقي

(30) تاريخ طلب الاسبقية - بلد الاسبقية - رقم طلب الاسبقية :

(45) تاريخ منح البراءة : 2013/12/15

(72) اسم المخترع وعنوانه: -1 اسم المخترع وعنوانه: -1 الحمان عيدان عبد الكريم السمري/ جامعة البصرة/كلية الطب /فرع الاحياء الم -1 الحماد. كوثر هواز مهدي -1 /جامعة البصرة /كلية العلوم /قسم علوم الحياة -1

3 - ا.د. خليل اسماعيل الحمدي /جامعة البصرة /كلية الطب /فرع الطب الباطني 4 - ا.د. سندس صديق بكر /جامعة البصرة /كلية الطب / فرع الاحياء المحمد

(73) اسم صاحب البراءة: الذوات أعلاه

(74) اسم الوكيل:

(54) تسمية الاختراع: استخلاص وتوصيف وامراضية المستضدات الفوقية العنقودية الذهبية (ستا فلوجين) كمسبب لداء الاكزيما الانسان .

منحت هذه البراءة استناداً لاحكام المادة 21 من قانون براءات الاختراع والنماذج الصناعية رقم 65 لسنة

1970 المعدل وعلى مسؤولية المخترع ٠

الشكري طيط

مطبعة الجهاز الركزي للإحصاء 2013

بسم اللــه الرحــــهن الرحيـــــم

وأستثفال أأوسه

المستضدات الغوقية للمكورات العنقودية الذمبية

(ستا فلمجين) كمسرب لداء الأكزيما الجلدية للإنسان

STAPHYLOCOCCUS AUREUS SUPERANTIGENS (STAPHYLOGEN)

INDUCING ATOPIC DERMATITIS/ ECZEMA SYNDROME IN HUMAN.

أسسأه الحجيثان وسراوات

- أ.ه.د. إحسان عيدان السيمري(1)
- أ.د. كوثر مواز ممدي المواز (2)
 - أ.و.د. خليـل إسماعيل الحمـدي (3)
 - أ.د. سندس صديـ تي بكر (1)
- (1) فرع الأحياء المجهرية- كلية الطب- جامعة البصرة.
 - البصرة العلوم علوم الحياة كلية العلوم علوم الحياة (2)
- (3) فرع الطب الباطني- كلية الطب- جامعة البصرة.

وأسيتغال أأوسه

المستخدات الغوقية للمكورات العنقودية الذمبية (ستا فلوبين) عمسبب لداء الأغزيما البلدية للإنسان STAPHYLOCOCCUS AUREUS SUPERANTIGENS (STAPHYLOGEN)INDUCING ATOPIC DERMATITIS/ ECZEMA SYNDROME IN HUMAN.

غلاصة الاختراع

- 1- تم في الدراسة الحالية استحداث الاكريمة التأتبية الجلدية والحراسة الحالية استحداث الاكريمة التأتبية الجلدية (Eczema) Syndrome في الفئران المفتبرية المفهجة تجريبياً بالمستضد الفوقي Superantigen أو السم الخارجي Exotoxin للمكبورات العنقودية الذهبية (Staphylogenic Protein or ويمكن تسميته (Staphylogenic Protein or والمعرولة من آفة الاكريمة التأتبية للإنسان.
- 2- أظهرت العلامات السريرية والتغييرات النسيجية المرضية لآفة الأكزيما Eczematous لا أظهرت العلامات السريرية والتغييرات النسيجية المرضية لأفة الأكزيما البيضاء BALB/C تشابها كبيراً مع مثيلاتها سريريا ونسيجيا لآفة الأكزيما البشرية
- 4- تبين ان جسم المكورات العنقودية الذهبية متكون من ثمانية مستضدات بروتينية طهرت على شكل ثمانية حزم بأجراء الرحلان الكهربائي لهلام الاكريلامايد المتعدد عالي النقاوة (\$PAGE 7.5) وتراوحت أوزانها الجزيئية من (\$13.56- 549.54) كيلودالتون بالمقارنة مع البروتينات القياسية المدروسة. (ومن المؤمل دراسة علاقتها بآفة الاكريمة البشرية مستقبلاً ان شاء الله).
- 5- اظهرت نتائج الدراسة الجرثومية لمتلازمة الاكريمة التأتبية البشرية بان المكورات العنقودية الذهبية هي السائدة في افة الأكريما بنسبة 60.48 ٪ تلتها بقية الأنواع الجرثومية وان تواجد الجراثيم ذات ارتباط إحصائي معنوي عالي بآفة الاكريمة التأتبية (P<0.05) مما يدلل بوضوح ويؤكد على العلاقة الوثيقة بين هذه الجراثيم والإصابة بمتلازمة الاكريمة التأتبية.
- 6- استنادا على نتائج الدراسه الحالية وما ذكر في اعلاه تبين بان المستضد الفوقي للمكورات العنقودية الذهبية هو المسؤول عن أو على الأقبل مسبباً ثانوياً لحدوث متلازمة التهاب الجلد التأتبي (الأكزيما).

أولاً – مقدمة وخلفية الاختراع

الأكزيما الجلدية أو الأكزيما التأتبية Atopic Eczema والتي تسمى ايضاً التهاب الجلد التأتبي Atopic Dermatitis/ Eczema Syndrome والتي سميت حديثاً Atopic Dermatitis وهي احد الامراض الجلدية المرضة غير المعدية التي يمكن التعايش معها والتخفيف من مضاعفاتها وهي تصيب الصغار والكبار على حد سواء(1و2).

الاكريما عباره عن اضطراب جلدي يتميز بالعكة والالتهاب والاحمرار وتكون ألبشره ايضاً ملتهبة وجافة ومتورمة ومكسوة بقشرة او تنضح بالسوائل وللاكريما إشكال متعددة ويمكن تصنيفها الى قسمين رئيسيين هي: التهاب الجلد الاكريمي الخارجي Extrinsic والتهاب داخلي المنشأ Intrinsic او ما يسمى الالتهاب البنيوى (6-3).

أسباب الاكريما غير معروفة ويعتمل انها ناتجة عن تفاعل عدة عوامل ذاتية وخارجية وقد تلعب الوراثة دوراً كبيراً في الاصابه بها حيث تبدأ معظم حالاتها في مرحلة الطفولة وتنمو بسرعة فائقة عند الثالثة والرابعة من العمر ويستمر بعضها خلال مرحلة البلوغ وتتهيج من وقت لأخر اعتماداً على الحالة النفسية للمريض او العادات الغذائية له بالإضافة الى الظروف البيئية الميطة به (7-10).

وقد تتسبب الاكزيما الجرثومية من الجراثيم او منتجاتها هيث تفتلط الاكزيما بأنتان جرثومي ثانوي او غرو فايروسي للجلد ويصبح الجلد متحسساً لمنتجات الجراثيم او المواد الكيمياوية الموجودة في الافرازات ويمكن ان تسبب المستضدات الجرثومية ارتكاساً سمياً خلوياً في الجلد (11-15).

المستضدات الفوقية Superantigens وهي بروتينات عالية الوزن ألجزيئي تنتج من قبل كائنات مجهرية مختلفة مثل المكورات العنقودية والمسبحية والعصيات والمايكوبلازما والفايروسات مسببة إمراض بشرية مثل التسمم الغذائي والصدمة الإنتانية وداء الصدفة وغيرها(16-18).

بناء على ما جاء في اعلاة تهدف الدراسة العالية الى عزل وتنقية وتوصيف المستفد الفوقي للجراثيم الأكثر شيوعا. و محاولة أحداث اكريما جلدية في الفئران المختبرية المتعرضة لهذا المستفد الفوقي بالاضافة الى مقارنة التأثيرات المرضية السريرية والنسيجية الناتجة في الحيوانات المختبرية مع تلك الموصوفة للإنسان.

ثانيا – مستلزمات وطرائق الافتصراع

أخذت مسحات جلدية من آفة الأكريما ومن الجلد السليم القريب من الآفة للشخص المصاب استخدمت انظمة API- System لتشغيص الأنواع الجرثومية المختلفة بالإضافة الى عدد من الاختبارات الكيمياحياتية لتأكيد تشغيص المكورات العنقودية الذهبية

.(20**§**19) Staphylococcus aureus

2 – عزل وتنقية وتوصيف المستضد الفوقي للمكورات العنقودية الذهبية

اعتمدت الطرائق القياسية من المصادر العلمية المشار إليها إزاء كل خطوة مع أجراء بعض التعديلات والتحويرات التي تتلائم مع طبيعة دراستنا وللوصول إلى أفضل النتائج في عزل وتنقية وتوصيف المستضد الفوقي(السم الخارجي Exotoxin) للمكورات العنقودية الذهبية وكما يلى:

- (21) السح الأولى Primary Screening -1
- 2- الوجود الأولى للمستضد الفوقي Primary Detection Of Superantigen -2
 - 3- أنتاج السم الفوقي (24و24) ويشمل:
 - أ- تعديد الفعالية التخثرية
 - ب- تعديد تركيز البروتين
 - نقية المستضد الفوقي (السم الخارجي) للمكورات العنقودية الذهبية وتشمل:
 - أ- الترسيب بأملاح الامونيوم (23).
 - ب- التنقية بالترشيح الغشائي (الديلزة)(25).
 - ج- التنقية باستخدام كروماتوغرافيا الترشيح العلامي (26).
 - توصيف المستضد الفوقي للمكورات العنقودية الذهبية ويشمل:
 - أ- الفعالية التحللية (22).
 - ب- بعض الصفات المركية (23).
 - ج- السمية الخلوية (27).
 - د- الفعالية ضد الجرثومية (28).
 - ه- تقييم النقاوة وتحديد الوزن ألجزيئي باستخدام تقنية الرهلان الكهربائي

Polyacrylamide Gel Electrophoresis (PAGE 7.5%) بهلام الاكريلامايد المتعدد

3 – الدراسات داخل الجسم Studies

حقنت الفئران البيضاء BALB/C White Mice بالمستضد الفوقي وقورنت مع فئران السيطرة Mormal Saline (المحقونة بالحلول الفسيولوجي Normal Saline وغير المتعرضة للمستضد الفوقي). درست التغييرات النسيجية المرضية Histopathological Study لغرض التعرف على التغييرات النسيجية المرضية للآفات Lesion الجلدية ألمستحثه

ثالثـــا – ادعــــاءات ونــــائج الاختـــــراعر

1–الحراسة الجرثوهية

يبين الجدول رقم (1) الأنواع الجرثومية المعزولة من آفة الاكزيمة والجلد السليم للأشخاص للمابين بالاكزيمة التأتبية حيث يظهر الجدول بان الـ Staphylococcus Aureus هي الجرثومة السائدة في آفة الاكزيمة (P<0.05).

والجدول رقم (2) يبين أنماط العزل للأنواع الجرثومية من كلي آفة الأكريما والجلد السليم Staph aureus ومن هذه النتائج السابقة اختيرت جرثومة المكورات العنقودية الذهبية (Sa) لغرض عزل المستضد الفوقى أو السم

2 – عزل وتنقية وتوصيف المستضد الفوقي (السم الفارجي) للمكورات العنقودية الذهبية

الجدول (3-10) والإشكال (1و2) توضح خطوات عزل وتنقية وتوصيف المستفد الفوقي للمكورات العنقودية الذهبية. حيث اختيرت العزلة AS1 في كل الدراسات اللاحقة والتي أظهرت فعالية ضد جرثومية عالية ضد الأنواع الجرثومية القياسية المدروسة بالمقارنة مع بقية العزلات جدول (3) وثبات هذه الفعالية في فترات زمنية متعاقبة جدول (4) واختير وسط أغار الكازائين المتحلل (CHA) ركوسط أنماء وإنتاج لأنه أعطى أفضل كفاءة للعزلة Sa1 لإظهار فعالياتها التخثرية والتخليه والتثبيطية جدول (5).

ويبين جدول (6) خطوات تنقية المستضد الفوقي للمكورات العنقودية الذهبية من خطوات التنقية القياسية .

ويظهر الشكل (1) المنحنى القياسي للـ L-Tyrosin .

من ناحية أخرى وضمن خطوات توصيف المستضد الفوقي للمكورات العنقودية الذهبيـة تبين إن PH=7 ودرجة حرارة 0 7 0 9 0 0 هـي الظروف المثلـي لإنتـاج السـم الخـارجي جـدول 0 1 0 1 0 1

التركين الأدنى للسمية الخلوية لكريات الـدم الحمـراء للإنسان لهـذا المستضد الفـوقي بلغـت (8), وإن والتراكين المثبطة الدنيا والتراكين القاتلة الدنيا لهذا المستضد الفوقى ضد العزلات الجرثومية القياسية موضعة في جدول (9).

وبأجراء الرحلان الكهربائي لهلام الاكريلامايد المتعدد(%PAGE 75%) بالمقارنة مع مجموعة من البروتينات القياسية معروفة الوزن ألجزيئي والمثبتة في جدول رقم (10) والشكل رقم(2) تبين وبشكل أكيد النقاوة العالية للمستضد الفوقي (السم الخارجي) للمكورات العنقودية الذهبية المعرولة من آفة الأكريما للمرضى المصابين بالاكريما التأتبية حيث تبين إن هذا المستضد متكون من حزمة منفردة نقية واحدة وبرسم المخطط البياني القياسي بالمقارنة مع البروتينات القياسية تبين ان الوزن ألجزيئي لهذا المستضد الفوقي يبلغ (47.315)كيلودالتون وان جسم المكورات العنقودية الذهبية المنتجة لهذا المستضد الفوقي تتكون من ثمانية مستضدات متباينة الوزن ألجزيئي تتراوح من (13.567- 549.540)كيلودالتون جدول (10) وصورة(1).

3 – الدراسات داخل الجسم

الصورة(2-5) تظهر استحثاث آفة الاكريمة الجلدية التأتبية في الفئران المعقونة بطرق مختلفة بالمستضد الفوقي للمكورات العنقودية الذهبية حيث أظهرت أفات الاكريمة المستحثة تجريبياً بأنها تحمل مواصفات سريريه مشابهه للعلامات السريرية النموذجية لآفة الاكريمة للإنسان حيث أنها تكون رقشرية وملتهبة (محمرة)).

تظهر الصور (7و6) الجلد السليم للإنسان وآفة الاكريمة البشرية حيث تميـزت بصفات Spongiosis, Exocytosis and Hyperkeratosis

وتظهر الصور (8-16) التغييرات النسيجية المرضية لآفة الأكريما للفئران المخمجة تجريبيا بالمستضد الفوقي للمكورات العنقودية الذهبية وأثبتت الصور وجـود نفس الصفات النسيجية المرضية لآفة الاكريمة البشرية المذكورة أعلاه بالإضافة إلى الصفات النسيجية المرضية الثانوية الهامة ذات العلاقة بالاكريمه التأتبية وهي ارتشاح الخلايا اللمفاوية، التواجد العالي لكريات الدم البيضاء الحمضة في البشرة والأدمة وتكون القيح وموت الخلايا في الأدمة وزيادة سمك طبقة الكيراتين في البشرة (Hyperplasia) وظهور تورم واحمرار التهابي وتحسس في مناطق ألبشره المختلفة بالقارنة مع مجموعة السيطرة صورة (17) والتي تظهر الجلد السليم للفئران.

 $\underline{\text{Table (1)}}$: Bacterial species isolated from eczematous lesions and healthy skin of AD patients. (P<0.05)

| Bacterial types | No. of cases(%) from | No. of cases(%) from |
|----------------------|--------------------------|----------------------|
| | Eczematous lesion | healthy skin |
| Staph.aureus | 173(60.48) | 50(17.48) |
| Staph.epidermidis | 49(17.13) | 164(57.34) |
| Staph. xylosus | 8(2.79) | 8(2.79) |
| Staph. saprophyticus | 15(5.24) | 30(10.48) |
| Staph. capitis | 8(2.79) | 8(2.79) |

| Staph. hominis | 64(22.37) | 27(9.44) |
|---------------------------|-----------|------------|
| Strept.pyogenes | 49(17.13) | 28(9.79) |
| Strept. faecalis | 66(23.07) | 51(17.83) |
| Strept. Mutans | 42(14.68) | 27(9.44) |
| E.coli | 73(25.52) | 95(33.21) |
| Enterobacter sp. | 16 (5.59) | 51(17.83) |
| Klebsiella sp. | 9(3.14) | 4(1.39) |
| Acinetobacter sp. | 16(5.59) | 10(3.49) |
| Proteus sp. | 17(5.94) | 17(5.94) |
| Ps. Aeruginosa | 50(17.48) | 16(5.59) |
| Pr. Acnes | 56(19.58) | 10(3.49) |
| Pr. granulosum | 58(20.27) | 53(18.53) |
| H. influenzae | 61(21.32) | 33(11.53) |
| Bacteroid sp. | 52(18.18) | 11(3.84) |
| Corynebacterium sp. | 77(26.92) | 51(17.83) |
| No. of isolates | 959 | 744 |
| Average (isolate :case) | (3.35: 1) | (2.6:1) |
| No. of –ve growth culture | 16(5.59) | 39(13.63) |
| No. of +ve growth culture | 270(94.4) | 247(86.36) |
| Total No. of cases | 286 | |
| | | |

 $\underline{Table(2)}$: Modes of isolation of bacterial species from eczematous lesions and healthy skin of AD patients . (P<0.05)

| Mode of isolation | No. of cases (%) from | No. of cases (%) from |
|----------------------|-----------------------|-----------------------|
| | eczematous lesions | healthy skin |
| Single | 38(14.07) | 31(12.55) |
| Double | 75(44.11) | 102(41.29) |
| Third | 22(12.94) | 19(7.69) |
| Fourth | 19(11.17) | 61(24.69) |
| Fifth | 59(34.7) | 17(6.88) |
| Sixth and over | 57(33.52) | 17(6.88) |
| No. of +ve culture | 270 (94.4) | 247(86.36) |
| (total No. of modes) | | |
| No. of -ve culture | 16(5.59) | 39(13.63) |
| (total No. of cases) | 286 | 286 |

 $\underline{Table(3)}$: Primary screening of Staph.aureus strains isolated from eczematous lesions of AD patients against a standard bacterial strains (P<0.05)

| Staph.aureus | Diameter of inhibition zones (mm) | | | | | |
|--------------|---|-----------|----------|------------|--|--|
| strains | E.coli Staph.aureus B.subtilis K.pneumonia NCTC 5933 NCTC 6571 PCI 219 ATCC 1003 | | | | | |
| | NC1C 3933 | NC1C 03/1 | 1 C1 219 | A1CC 10031 | | |
| Sa1 | 8 | 6 | 7.5 | 10 | | |

| Sa2 | 4 | 2 | 3.5 | 5 |
|-----|-----|-----|-----|-----|
| Sa3 | 3.5 | 1 | 3 | 2.5 |
| Sa4 | 1.5 | 0 | 2 | 1.5 |
| Sa5 | 3 | 1.5 | 2.5 | 3.5 |

 $\underline{Table(4)}:$ Antibacterial activity of Sa1 against a standard bacterial strains after various incubation periods . (P $\!\ge\!0.05)$

| Incubation | Diameter of inhibition zones (mm) | | | | | |
|--------------|--|-----------|---------|------------|--|--|
| period (hrs) | E.coli Staph.aureus B.subtilis K.pneumonia | | | | | |
| | NCTC 5933 | NCTC 6571 | PCI 219 | ATCC 10031 | | |
| 24 | 18 | 7.5 | 20 | 25 | | |
| 48 | 20 | 8 | 23 | 27.5 | | |

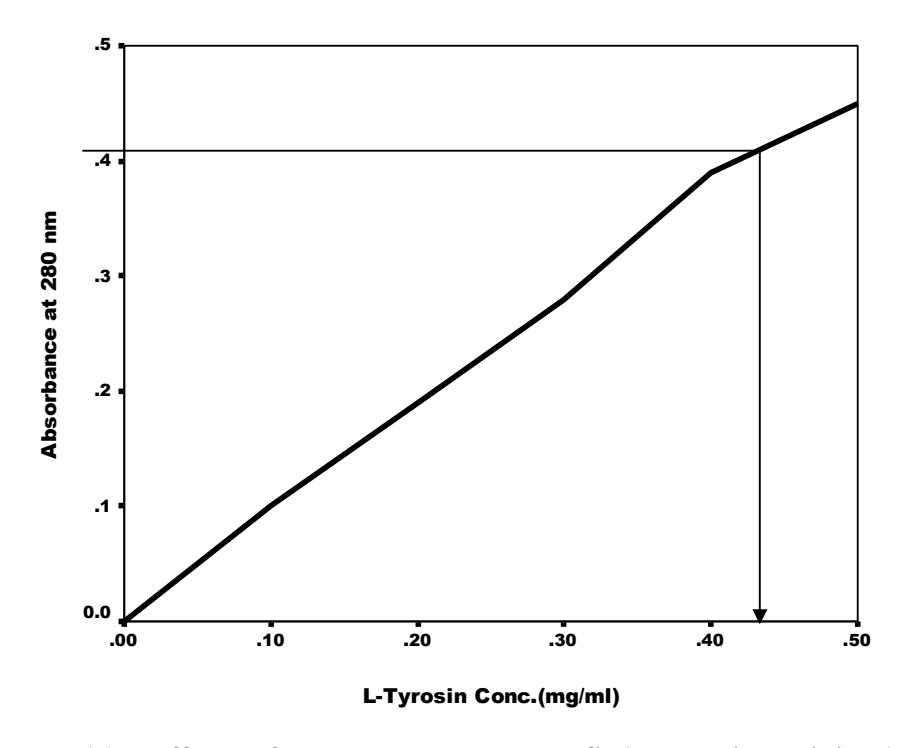
Table(5): primary detection of Sa1 exotoxin on two culture media .

| Medium | Inhibition zone (mm) | Growth |
|--------|-----------------------------|--------|
| СНА | 17 | +++ |
| SMA | 13 | + |

<u>Table(6)</u>: Results of purification steps of Sa1 exotoxin

| Step of purification | Volume (ml) | Clotting activity (unit/ml) | Protein concentration mg/ml | Specific activity unit/mg | Total activity (unit) | Degree of purification | Exotoxin resultant (recovery) (%) |
|--|----------------|-----------------------------------|-----------------------------------|---------------------------------|-----------------------|------------------------|--|
| Crud exotoxin solution | 500 | 30 | 5 | 6 | 15000 | 1 | 100 |
| Precipitation by (NH ₄) ₂ SO ₄ | 200 | 32.5 | 4 | 8.1 | 6500 | 1.35 | 43.33 |
| Dialysis | 200 | 80.5 | 2.5 | 32.2 | 16100 | 5.366 | 46.50 |
| Gel infiltration G-100 | 15 | 85.5 | 0.041 | 2085.3658 | 1282.5 | 347.56 | 3.975 |

Figure (1): Standard curve of L-Tyrosin



<u>Table (7)</u>: Effects of PH and temperature Sa1 exotoxin activity (P<0.01)

| Exotoxin activity according inhibition zones (mm) | | | |
|---|----|----|----|
| Temperature | PH | | |
| (°C) | 4 | 7 | 9 |
| 30 | 3 | 21 | 10 |
| 37 | 5 | 24 | 12 |
| 45 | 0 | 18 | 3 |
| 60 | 0 | 3 | 0 |

Table(8): Cytotoxicity of Sa1 exotoxin against human RBCs.

T: Toxic, NT: Not toxic

| Conc. µg/ml | Cytotoxicity |
|-------------|----------------|
| | against R.B.Cs |
| 0.05 | NT |
| 0.5 | NT |
| 20 | NT |
| 25 | NT |
| 35 | T |
| 50 | T |
| 75 | T |

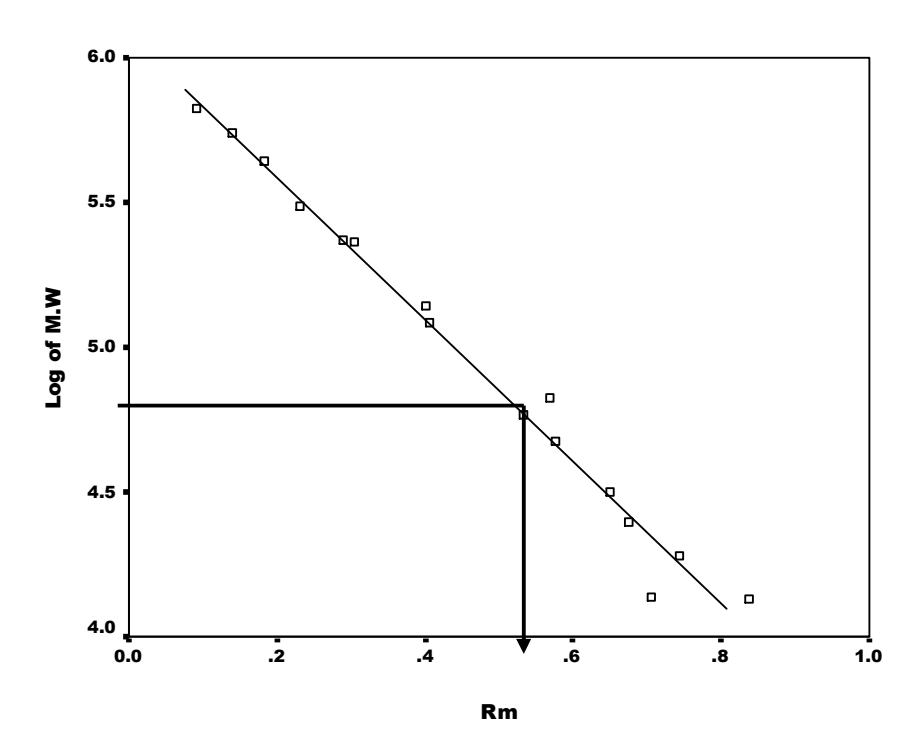
 $\underline{Table(9)}$: Determination of minimum inhibitory concentrations (MICs) and minimum bactericidal concentrations (MBCs) of pure Sa1 exotoxin against standard bacterial strains . (P<0.05) .

| Technique | Exotoxin concentration (µg/ml) | | | | |
|-----------|--------------------------------|-----------|------------|--------------|--|
| mode | Staph.aureus | E.coli | B.subtilis | K.pneumoniae | |
| | NCTC 657 | NCTC 5933 | PCI 219 | ATCC 10031 | |
| MIC | 0.35 | 1.5 | 3.5 | 0.85 | |
| MBC | 1.0 | 2.5 | 5.0 | 1.5 | |

<u>Table (10)</u>: The relative mobility (Rm) and molecular weight of the standard proteins and various bands of *Staph. aureus* 1 (All antigens) and Sa1 exotoxin by using conventional polyacrylamide gel electrophoresis (PAGE) (7.5%)

| Protein | Rm | Molecular weight |
|------------------|-------|------------------|
| | | (Dalton) |
| Thyroglobulin | 0.092 | 669,000 |
| Ferritin | 0.184 | 440,000 |
| Catalase | 0.304 | 232,000 |
| Aldolase | 0.4 | 140,000 |
| Albumin | 0.569 | 67,000 |
| Chemotrypsinogen | 0.676 | 25,000 |
| Ribonuclease | 0.705 | 13,700 |
| Staph.aureus 1 | | |
| (All antigens): | 0.139 | 549,540.8739 |
| Band1 | | |
| Band2 | 0.232 | 305,492.1113 |
| Band3 | 0.290 | 234,442.8815 |
| Band4 | 0.406 | 121,618.6 |
| Band5 | 0.534 | 58,884.3655 |
| Band6 | 0.651 | 31,622.7766 |
| Band7 | 0.744 | 19,186.6874 |
| Band8 | 0.837 | 13,567.5053 |
| Staph.aureus 1 | | |
| exotoxin | 0.576 | 47,315.1259 |

<u>Fig- 2 -</u>: Calibration curve for estimation of molecular weight of extracted staph. aureus antigens and – in especially- exotoxin. According to comparison with standard proteins by using a conventional polyacrylamide gel electrophoresis PAGE (7.5%).

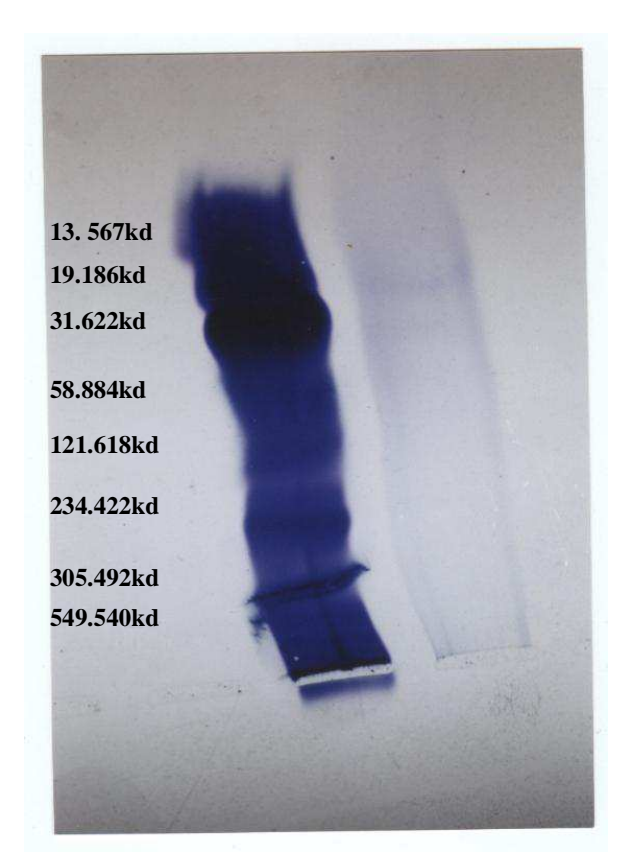


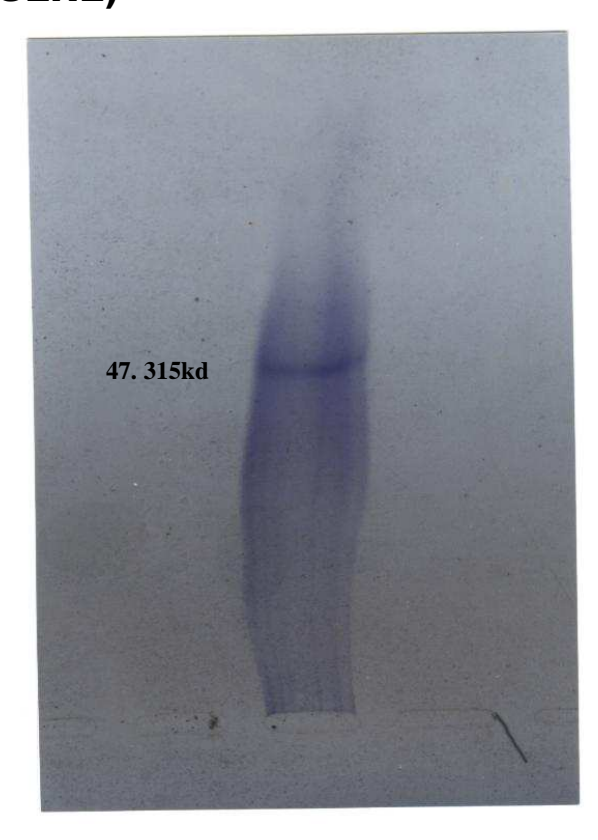
<u>PICTURE (1):</u> BANDS FROM GEL ELECTROPHORESIS.

<u>LEFT: STAPH AUREUS</u> ALL BODY ANTIGENES.

<u>RIGTH: SINGLE PURE BAND OF STAPH AUREUS</u> EXOTOXINE (

<u>SUPERANTIGENE</u>)





PICTURE (2): BALB/C MICE, CONTROL .

 $\underline{\text{PICTURE (3):}} \text{ SKIN LESION IN 24HRS AFTER} \\ \text{INTRADERMAL INJECTION OF EXOTOXIN .} \\$



 $\frac{PICTURE \ (\ 4\):}{TEST\ OF\ EXOTOXIN}\ (SUPERANTIGENS\)\ .$



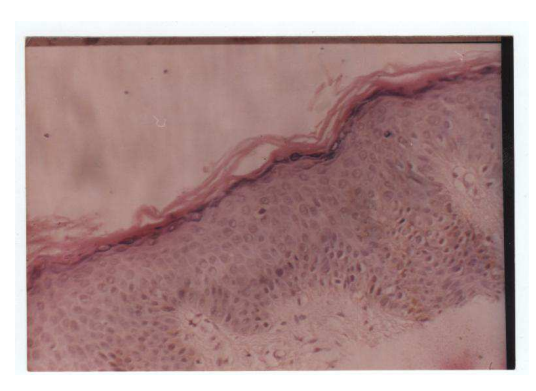
PICTURE (5): SKIN LESION AS A TYPICALLY PHENOMENA OF AD (SCALY & ERYTHMATOUS) IN 96 HRS AFTER SPOT TEST OF EXOTOXIN.



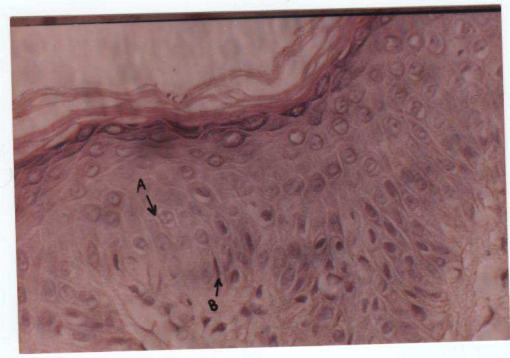
PICTURE (6): HUMAN SKIN , CONTROL .



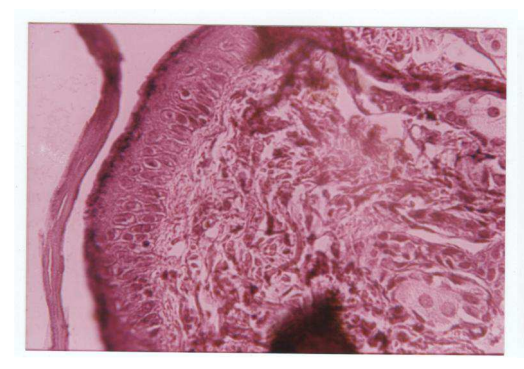
 $\begin{array}{c} \underline{\textbf{PICTURE}\;(\,7\,)\;;}\; \text{SKIN LESION OF HUMAN AD}\;.\\ \underline{A\;;}\; \underline{\textbf{SPONGIOSIS}}\quad \underline{B\;;}\; \underline{\textbf{EXOCYTOSIS}}\;.\\ \underline{\textbf{ITH HYPERKERATOSIS}}\;.\; 132x \end{array}$

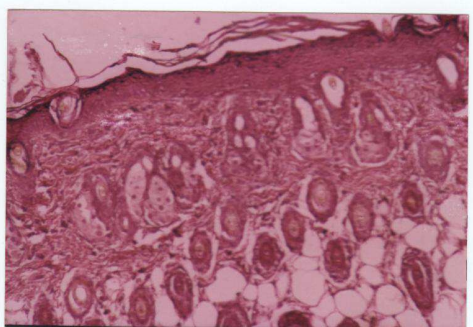


<u>PICTURE (8):</u> DEGENERATION AND INFLAMMATION OF EPIDERMAL LAYERS. MICE SKIN LESION . 65x WITH INFILTRATION OF INFLAMMATORY CELI

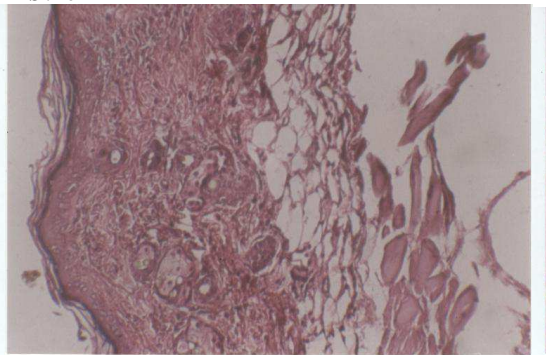


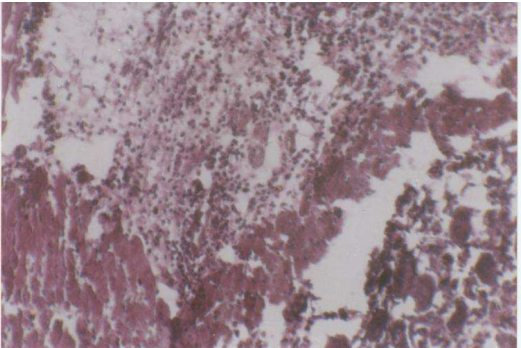
PICTURE (9): HYPERKERATOSIS, SPONGIOSIS
WITH INFILTRATION OF INFLAMMATORY CELLS
REACTION WITH INCREASE OF BLOOD VESSELS & NERVE IN
DERMIS. 26x





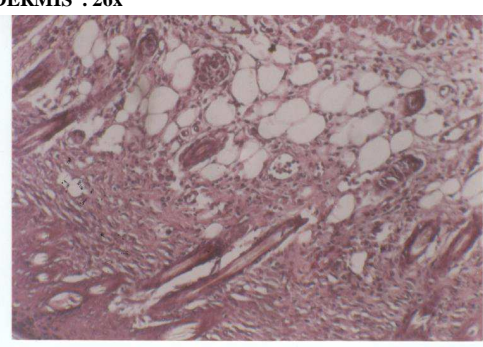
PICTURE (10): SPONGIOSIS, HYPERKERATOSIS AND MILD INFLAMMATORY CELLS REACTION IN DERMAL SUBCUTANEOUS LAYER OF SKIN . 65 x

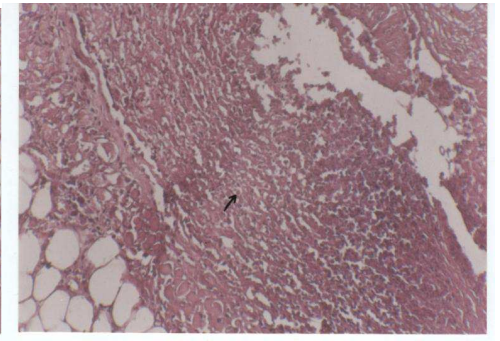




PICTURE (12): INFILTRATION AND DIAPEDES MOVEMENTOF INFLAMMATORY CELLS FROM BLOOD VESSELS WITH EDEMA IN THE DERMIS & HYPODERMIS . 26x

 $\frac{\text{PICTURE (13):}}{\text{NECROSIS WITH INFLAMMATION IN THE DERMIS}}.$

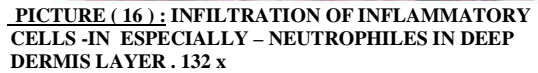


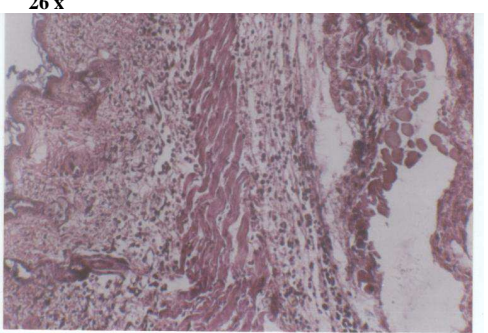


 $\underline{\text{PICTURE}\,(\,14\,):}$ SURFACE ULCERATION , SEVERE INFLAMMATION IN EPIDERMAL & DERMAL LAYERS . 26~x

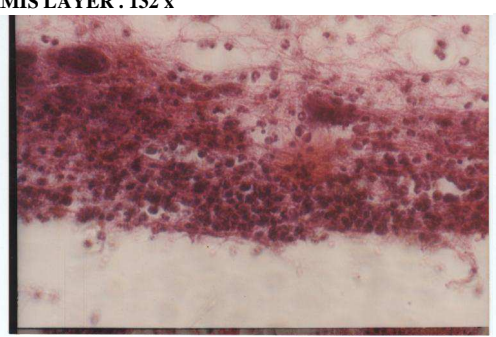
 $\frac{\text{PICTURE (15):}}{\text{SUBCTANEOUS TISSUES BETWEEN MUSCLE FIBERS}}.$ $26\,\text{x}$

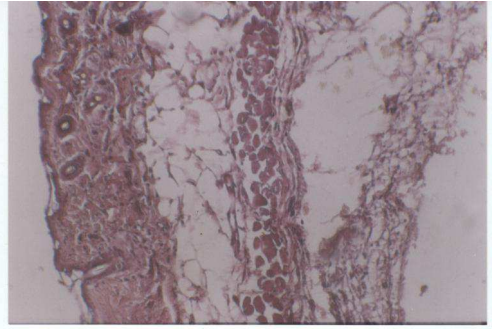






PICTURE (17): MICE SKIN, CONTROL 26 x





رابعـــا – العنـــاصر الجـــديــدة الهـــراد حمـايـتــما في الاختـــراع

- 1- أمكن استحثاث آفة الأكريما في الفئران المفتبرية المفمجة تجريبياً بتقنيات مفتلفة بالمستضد الفوقي (السم الفارجي) للمكورات العنقودية الذهبية المعزولة من آفة الأكريما
- أظهرت العلامات السريرية والتغييرات النسيجية المرضية لأفة الاكزيمة المستحثة في الفئران تشابها عالياً مع آفة الاكزيمة البشرية مما يشير إلى نجاح تقميج الفئران بآفة الاكزيمة التأتبية مفتبريا.
- 3- تبين إن الوزن ألجزيئي للمستضد الفوقي المسبب للاكريمه التأتبية والمنتج من قبل المكورات العنقودية الذهبية يبلخ (47.315)كيلودالتون وانه عالي النقاوة ومتكون من حزمة واحدة على سطح هلام الاكريلامايد المتعدد.
- 4- إن المكورات العنقودية الذهبية المعزولة من آفة الاكريمة البشرية متكونة من ثمانية مستضدات بروتينية تتراوح أوزانها الجزيئية من (13.567- 549.540) كيلودالتون.
- 5- إن المكورات العنقودية الذهبية هي البراثيم السائدة في آفة الاكزيمة التأتبية البشرية وهي احد المسببات الرئيسية لهذا المرض من خلال أنتاج السموم الخارجية (المستضدات الفوقية) و المستضدات البسمية الأخرى.

سادسا – مصادر الأفتـــــراع

- 1. AAD (2003). Eczema/ Atopic dermatitis.http://www.aad.org.
- 2. Beltrani, V.S and Boguneiwics, M. (2003). Atopic dermatitis. Dermatol. On line J., 9(2):1-28.
- 3. Akdis, C.A. and Akdis, M.(2003). Immunological difference between intrinsic and extrinsic types of atopic dermatitis. Clin. Exp. Allergy, 33: 1618-1621.
- 4. Antonie, R.; Antonio, C., Barbra, F., Schmid, G.P. (2004). Microbial colonization and atopic dermatitis. Allergy Clin. Immunol., 4(5): 373-378.
- 5. Bachert, C.; Gevaert, P. and Cauwenberge, P.(2002). Staphylococcus aureus enterotoxins: A key in airway disease?. Allergy, 57(6): 480-487.
- Berke , J.R.(1994). Immuunopthogenesis of atopic eczema. Tidsskr Nor Laegoforen, 114: 1827 – 1828.
- 7. Cookson, W.O. and Moffatt, M.F.(2002). The genetics of atopic dermatitis. Curr. Opin. Allergy Clin. Immunol.,2:383-387.
- 8. Correale, C.; WALKER, C.; Murphy, L. and Craig, T.J.(1999). Atopic dermatitis: A review of diagnosis and treatment. Am Fam Physician, 60:1191-1210.
- 9. Daniels ,J. and Haper ,J. (2002). The epidemiology of atopic dermatitis. Hosp.Med., 63(11):649-652.
- 10. Breuer, k.; wittmann, M., Bosche, B.; Kapp, A. and werfel, T(2000). Sever atopic dermatitis is associated with sensitization to staphylococcal enteroxin B (SEB). Allergy, 55(6): 551-555.
- 11. Abeck, D., and mempel, M.(1998). *Staphylococcus aureus* colonization in atopic dermatitis and its therapeutic implication. **British J. Dermatol.**, 139:16.
- **12. Breuer ,K.; kapp., A. and Werfel , T.(2001).** Bacterial infections and atopic dermatitis. **Allergy , 56(11) : 1034.**

- 13. Breuer, K., Haussler, S. Kapp, A. and werfel, T. (2002). *Staphylococcus aureus*: Colonizing features and influence of an antibactereial treatment in adult with atopic dermatitis. British. J. Dermatol., 147 (1): (55).
- 14. Brook , I.; Frazier, E-H. and Yeager , J.K.(1996). Microbiology of infected atopic dermatitis. Int . dermatol., 35(11): 791-793.
- 15. Geha, R.S. (2001). Immunologic mechanisms of atopic dermatitis. http://crisp.cit.nih.gov/crisp.
- 16. Kotzin ,B.L.; Leung, D.Y.M.; Kappler, J.and Marrack, P.(1993). Superantigens and their potential role in human disease. Adv. Immunol., 54: 99-166.
- 17. Hauser ,C.; Prins , C. and Lacour, M.(1996). The role of infectious agents in atopic dermatitis. in : Leung , D.Y.M. Atopic dermatitis : from pathogonesis to treatment. Springer-Verlag. New york .PP: 67-112.
- **18. Leung, D.Y.M.** (2002). Role of *Staphylococcus aureus* in atopic dermatitis. In: Bieber, T. and Leung, D.Y.M. Atopic dermatitis. Marcel Dekker, InC. Newyork. **PP: 401-418.**
- **19. Garrity**, **G.M.**(**Edit**).(**2001**). Bergys Manual of Systematic Bacteriology. 2 nd ed. Springer Verlage, NewYork, **Vol.3,Group -17.** http://www.Berbys.org.
- **20. Forbes, B.A.; Sahm, D.F. and Werssfeld , A.S.(1998).** Baily & scott's Diagnostic Microbiology. 10th ed. Vol. I ,Mosby Co. St Louis, **PP: 68-280, 282-418, 606-618.**
- **21. Schmauder ,H.P.(Edit).(1997).** Methods in Biotechnology. Taylor & Francis ,Ltd. London ,pp:5-70.
- 22. Taguchi ,S., Suzuk ,M., Kojima ,s., Miiura ,K. I and momose ,H. (1995) .

 Streptomyces serine protease (SAM-p20): Recombinant , production ,

 characterization and interaction with endogenous protease inhibitor .J. Bacterial .,

 177: 6638-6643.
- 23. Saleh ,A.A.(2000). Isolation and identification of acidic protease from dtreptomyces aureofacins $T_{252}\,U_{11}$. M.Sc. Thesis. College of science. University of Basrah.
- 24. AL-Sarraji, E.H.(1996). Praduction of clotting engyme from Trichoderma hamatum (bamatum (bonordi) Bain and study of propertiey and its use in production of soft Iraqi cheese. Ph.D. Dissertation . College of Agriculture . Unvesity of Basrah.
- 25. Okino, N.; Tani, M.; Imayama, S. and Ito, M.(1998). Purification and characterization of a novel ceramidase from *Pseudomonas aeruginosa*. J. Biol. Chem., 273(23): 14368-14373.

- **26. Kalasz, H.(1984).** Gel Chromatography. In : kreses. I.(edit). Methods of protein analysis. Ellis horwood, Ltd.**PP : 271 325**.
- **27.** Nair , M.G., Putanam ,A.R., Mishar, S.K., etal (1989). Faerie fungin : A new broad-spectrum antibiotic from *Streptomyces griseus* var. *autotrophicus*. J Natural Products, 52 : 797-809.
- 28. Donham, M.C.; Tleath, H.E.; Leblance, P.A.; and Sloon, G.L.(1988).

 Characteristic of extracellular protein production by *Staph simulans* biovar *staphyloticus* during aerobic and anaerobic growth .Gen. microb. 134: 2615-2621.